

УДК 539.3

## К РЕШЕНИЮ ДВУМЕРНОЙ ЗАДАЧИ ГЕРЦА

И. И. Аргатов

Государственная морская академия им. адм. С. О. Макарова, 199106 Санкт-Петербург

Методом сращиваемых асимптотических разложений построены главные члены асимптотики решения контактной задачи с односторонним ограничением о сжатии без трения плоских упругих тел, первоначально касающихся в точке. Задача определения сближения контактирующих тел в зависимости от сдавливающей силы сведена к расчету так называемых коэффициентов локальной податливости. Рассмотрены примеры контакта упругого кольца и упругих круговых дисков со штампами и упругого диска с двумя обжимающими упругими полосами. Построена асимптотическая модель квазистатического соударения плоских упругих тел.

Задачи одностороннего контакта упругих тел исследовались в рамках теории вариационных неравенств (см. [1–4] и др.). Метод конечных элементов для численного решения задачи (1.8) разработан в [1]. В настоящей работе для получения приближенного решения данной задачи применяется метод сращиваемых асимптотических разложений [5–7]. В [8] этим методом решена задача о сжатии двух круговых дисков, в [9] — задача о вдавливании с трением упругого диска в жесткий угол. Рассматриваемая ниже задача решалась в [10] при исследовании прочности клапанов для каналов малого проходного сечения.

**1. Постановка задачи.** Рассмотрим сжатие двух упругих тел  $\Omega^1$  и  $\Omega^2$  (рис. 1). Вектор перемещений точек тела  $\Omega^r$  ( $r = 1, 2$ ) обозначим через  $\mathbf{u}^r = (u_1^r, u_2^r)$ . Будем считать, что тело  $\Omega^1$  неподвижно закреплено на части границы  $\Gamma_u$ , т. е.

$$\mathbf{u}^1(\mathbf{x}) = 0, \quad \mathbf{x} = (x_1, x_2) \in \Gamma_u. \quad (1.1)$$

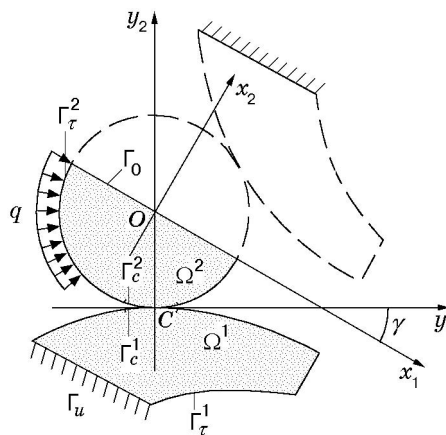


Рис. 1

Вследствие симметрии задачи на части  $\Gamma_0$  границы тела  $\Omega^2$  ставятся условия двустороннего контакта

$$u_2^2(\mathbf{x}) = 0, \quad \tau_{12}^2(\mathbf{u}^2; \mathbf{x}) = 0, \quad \mathbf{x} \in \Gamma_0. \quad (1.2)$$

На участке  $\Gamma_\tau^2$  задаются поверхностные нагрузки

$$\sum_{j=1}^2 \tau_{ij}^2(\mathbf{u}^2; \mathbf{x}) n_j^2(\mathbf{x}) = q_i(\mathbf{x}) \quad (i = 1, 2), \quad \mathbf{x} \in \Gamma_\tau^2. \quad (1.3)$$

Часть границы  $\Gamma_\tau^1$  тела  $\Omega^1$  для простоты предполагается свободной от напряжений:

$$\sum_{j=1}^2 \tau_{ij}^1(\mathbf{u}^1; \mathbf{x}) n_j^1(\mathbf{x}) = 0 \quad (i = 1, 2), \quad \mathbf{x} \in \Gamma_\tau^1. \quad (1.4)$$

Здесь  $\tau_{ij}^r(\mathbf{u}^r)$  — компоненты напряжений, соответствующие вектору смещений  $\mathbf{u}^r$ ;  $e_{ij}^r$  — компоненты тензора деформаций тела  $\Omega^r$ :

$$\tau_{ij}^r = 2\mu_r e_{ij}^r + \delta_{ij} \mu_r \frac{3 - \varkappa_r}{\varkappa_r - 1} (e_{11}^r + e_{22}^r), \quad e_{ij}^r = \frac{1}{2} \left( \frac{\partial u_i^r}{\partial x_j} + \frac{\partial u_j^r}{\partial x_i} \right),$$

$\delta_{ij}$  — символ Кронекера;  $\mu_r$  — модуль сдвига;  $\varkappa_r = 3 - 4\nu_r$  (в случае плоской деформации);  $\nu_r$  — коэффициент Пуассона.

В недеформированном состоянии упругие тела  $\Omega^1$  и  $\Omega^2$  касаются в точке  $C$ , в которую поместим начало локальной системы координат  $y_1$  и  $y_2$ . Под действием внешней нагрузки тело  $\Omega^2$  давит на тело  $\Omega^1$ . Для простоты предполагаем, что трение между контактирующими поверхностями отсутствует. Будем считать, что участки границ  $\Gamma_c^1$  и  $\Gamma_c^2$ , которые могут прийти в контакт в процессе деформации, являются гладкими кривыми и задаются уравнениями

$$y_2 = f_r(y_1), \quad y_1 \in (-l_1, l_2) \quad (r = 1, 2), \quad (1.5)$$

где  $(-l_1, l_2)$  — промежуток, содержащий проекцию возможной зоны контакта. Определим расстояние между точками контактирующих тел в исходном положении (до деформации)

$$\Delta(y_1) = f_2(y_1) - f_1(y_1). \quad (1.6)$$

Для того чтобы получить граничные условия одностороннего контакта на  $\Gamma_c^1$  и  $\Gamma_c^2$ , обратимся к вариационной формулировке [1] рассматриваемой задачи. Введем пространство возможных полей перемещений с конечной энергией  $V = \{(\mathbf{v}^1, \mathbf{v}^2): \mathbf{v}^1 = 0 \text{ на } \Gamma_u, v_2^2 = 0 \text{ на } \Gamma_0\}$  (см. [1]) и определим функционал потенциальной энергии

$$L(\mathbf{v}^1, \mathbf{v}^2) = \sum_{r=1}^2 \frac{1}{2} \int_{\Omega^r} \sum_{i,j=1}^2 \tau_{ij}^r(\mathbf{v}^r; \mathbf{x}) e_{ij}(\mathbf{v}^r; \mathbf{x}) d\mathbf{x} - \int_{\Gamma_\tau^2} \sum_{i=1}^2 q_i(\mathbf{x}) v_i^2(\mathbf{x}) ds_x.$$

Согласно [1] контактная задача о сжатии упругих тел  $\Omega^1$  и  $\Omega^2$ , первоначально касающихся в точке, сводится к задаче минимизации функционала  $L(\mathbf{v}^1, \mathbf{v}^2)$  на множестве допустимых перемещений

$$K_\Delta = \{(\mathbf{v}^1, \mathbf{v}^2) \in V: \hat{v}_2^1(y_1, f_1(y_1)) - \hat{v}_2^2(y_1, f_2(y_1)) \leq \Delta(y_1), y_1 \in (-l_1, l_2)\}.$$

Здесь  $\hat{v}_2^r = -v_1^r \sin \gamma + v_2^r \cos \gamma$  — проекция вектора  $\mathbf{v}^r$  на ось  $Oy_2$ ;  $\gamma$  — угол между осями  $x_1$  и  $y_1$ .

Справедливо следующее утверждение (см. теорему 2.6 в [1]). Пусть  $\Gamma_0$  состоит из отрезков, параллельных оси  $Ox_1$ . Тогда, если  $\cos(x_1, y_2) < 0$  и

$$Q_1 = \int_{\Gamma_\tau^2} q_1(\mathbf{x}) ds_x > 0, \quad (1.7)$$

то существует единственное решение  $(\mathbf{u}^1, \mathbf{u}^2) \in K_\Delta$  задачи

$$L(\mathbf{u}^1, \mathbf{u}^2) \leq L(\mathbf{v}^1, \mathbf{v}^2) \quad \forall (\mathbf{v}^1, \mathbf{v}^2) \in K_\Delta. \quad (1.8)$$

При этом в точках кривых  $\Gamma_c^1$  и  $\Gamma_c^2$  с одинаковой абсциссой  $y_1 \in (-l_1, l_2)$  выполняются соотношения

$$\hat{u}_2^1(y_1, f_1) - \hat{u}_2^2(y_1, f_2) \leq \Delta(y_1), \quad \hat{T}_2^1(y_1, f_1)/\cos \alpha_1 = -\hat{T}_2^2(y_1, f_2)/\cos \alpha_2 \leq 0, \quad (1.9)$$

$$[\hat{u}_2^1(y_1, f_1) - \hat{u}_2^2(y_1, f_2) - \Delta(y_1)]\hat{T}_2^1(y_1, f_1) = 0;$$

$$\hat{T}_1^1(y_1, f_1) = \hat{T}_1^2(y_1, f_2) = 0. \quad (1.10)$$

Здесь  $\hat{T}_i^r$  — проекция на ось  $Oy_i$  вектора напряжений на площадке с нормалью  $\mathbf{n}^r$ ;  $\alpha_r$  — угол между осью  $Oy_1$  и касательной к  $\Gamma_c^r$ . Выполнение неравенства (1.7) обеспечивает вдавливание тела  $\Omega^2$  в  $\Omega^1$ .

Чтобы использовать асимптотический метод, введем малый положительный параметр  $\varepsilon$ :

$$q_i = \varepsilon q_i^* \quad (1.11)$$

и будем считать, что к телу  $\Omega^2$  приложена пропорциональная параметру  $\varepsilon$  система сил с направленной вдоль оси  $Ox_1$  равнодействующей

$$Q_1 = \varepsilon Q_1^*, \quad Q_1^* = \int_{\Gamma_\tau^2} q_1^*(\mathbf{x}) ds_x.$$

Следуя [11], построим главные члены асимптотики решения задачи (1.8), (1.11) при  $\varepsilon \rightarrow 0$ .

**2. Внешнее асимптотическое представление.** Обозначим через  $\mathbf{G}^1(\mathbf{x})$  решение задачи о действии на упругое тело  $\Omega^1$  единичной сосредоточенной силы, приложенной в точке  $C$  и направленной по нормали к границе внутрь области  $\Omega^1$ . Вектор  $\mathbf{G}^1(\mathbf{x})$  должен удовлетворять системе уравнений Ламе в  $\Omega^1$ , граничному условию заделки (1.1) на участке  $\Gamma_u$  и условию отсутствия напряжений на участках  $\Gamma_\tau^1$  и  $\Gamma_c^1 \setminus C$ .

Введем проекции вектора  $\mathbf{G}^1(\mathbf{x})$  на оси локальной системы координат  $Cy_1y_2$

$$\hat{G}_1^1(\mathbf{y}) = G_1^1(\mathbf{x}) \cos \gamma + G_2^1(\mathbf{x}) \sin \gamma, \quad \hat{G}_2^1(\mathbf{y}) = -G_1^1(\mathbf{x}) \sin \gamma + G_2^1(\mathbf{x}) \cos \gamma, \quad (2.1)$$

где  $x_1 = y_1 \cos \gamma - y_2 \sin \gamma$ ;  $x_2 = y_1 \sin \gamma + y_2 \cos \gamma$ .

При  $|\mathbf{y}| = (y_1^2 + y_2^2)^{1/2} \rightarrow 0$  верны асимптотические формулы

$$\hat{G}_i^1(\mathbf{y}) = S_i^1(\mathbf{y}/R_1) + n_1 A_i^1 + O(|\mathbf{y}|) \quad (i = 1, 2). \quad (2.2)$$

Здесь  $R_1$  — радиус кривизны контура  $\Gamma_c^1$  в точке  $C$ ;  $\mathbf{S}^r(\mathbf{y}/R_1)$  — решение задачи Фламана (см., например, [12, § 90]) о действии на упругую полуплоскость  $y_2 \leq 0$  (для  $r = 1$ ) единичной сосредоточенной силы, направленной противоположно оси  $Cy_2$ , причем

$$4\pi\mu_r S_1^r(\boldsymbol{\zeta}) = -2\zeta_1\zeta_2/|\boldsymbol{\zeta}|^2 + (\varkappa_r - 1) \operatorname{arctg}(\zeta_1/\zeta_2), \quad (2.3)$$

$$4\pi\mu_r S_2^r(\boldsymbol{\zeta}) = (\varkappa_r + 1) \ln |\boldsymbol{\zeta}| - 2\zeta_2^2/|\boldsymbol{\zeta}|^2, \quad n_r = (\varkappa_r + 1)/(4\pi\mu_r)$$

( $\boldsymbol{\zeta} = (\zeta_1, \zeta_2)$  — безразмерные координаты).

На удалении от площадки контакта поле перемещений  $\mathbf{u}^1(\mathbf{x})$  упругого тела  $\Omega^1$  представим в виде

$$\mathbf{v}^1(\mathbf{x}) = P\mathbf{G}^1(\mathbf{x}), \quad (2.4)$$

где  $P$  — контактная сила.

Рассмотрим тело  $\Omega^2$ . При описании его поля перемещений  $\mathbf{u}^2(\mathbf{x})$  на удалении от площадки контакта воздействие тела  $\Omega^1$  на тело  $\Omega^2$  заменяем сосредоточенной силой  $P$ , направленной по оси  $Cy_2$ . В результате получим задачу о равновесии тела  $\Omega^2$  под действием самоуравновешенной системы нагрузок, лежащего на гладкой опоре  $\Gamma_0$ , решение которой определено с точностью до поступательного смещения.

Введем нормированное решение  $\mathbf{v}^{20}(\mathbf{x})$  указанной задачи, однозначно определенное условием  $v_1^{20}(O) = 0$ , имеющим простой механический смысл: проскальзывание на опоре в точке  $O$  равно нулю. Вектор  $\mathbf{v}^{20}(\mathbf{x})$  должен удовлетворять однородной системе уравнений Ламе в области  $\Omega^2$ , граничным условиям (1.2) двустороннего контакта на  $\Gamma_0$ , силовому граничному условию (1.3) на  $\Gamma_c^2$  и асимптотическому условию при  $\mathbf{x} \rightarrow C$  (ср. с (2.2)):

$$\hat{v}_i^{20}(\mathbf{y}) = -P[S_i^2(\mathbf{y}/R_2) + n_2 A_i^2 + O(|\mathbf{y}|)] \quad (i = 1, 2). \quad (2.5)$$

Здесь  $R_2$  — радиус кривизны  $\Gamma_c^2$  в точке  $C$ ;  $\hat{v}_i^{20}(\mathbf{y})$  — проекция на ось  $Cy_i$  вектора  $\mathbf{v}^{20}(\mathbf{x})$  (см. (2.1)).

Из уравнения статического равновесия тела  $\Omega^2$  находим

$$P = \varepsilon P^*, \quad P^* = (\sin \gamma)^{-1} Q_1^*. \quad (2.6)$$

Итак, внешнее асимптотическое представление для поля перемещений упругого тела  $\Omega^2$  представим в виде суммы

$$\mathbf{v}^2(\mathbf{x}) = \mathbf{v}^{20}(\mathbf{x}) + \alpha \mathbf{e}_1, \quad (2.7)$$

где постоянная  $\alpha$  — малое смещение центра тела  $\Omega^2$  вдоль оси  $Ox_1$ . Положим

$$\alpha = \varepsilon \alpha^*. \quad (2.8)$$

Величина  $\alpha$  определяется локальными деформациями в зоне контакта.

**3. Задача одностороннего контакта для пограничного слоя.** Участки границ  $\Gamma_c^1$  и  $\Gamma_c^2$  в окрестности точки первоначального касания аппроксимируем параболой

$$f_r(y_1) = (-1)^r (2R_r)^{-1} y_1^2 + O(y_1^3) \quad (r = 1, 2). \quad (3.1)$$

Введем “растянутые” координаты

$$\boldsymbol{\eta} = (\eta_1, \eta_2), \quad \eta_i = \varepsilon^{-1/2} y_i. \quad (3.2)$$

Степень растяжения в (3.2) выбрана так, чтобы в координатах  $\eta_1$  и  $\eta_2$  размер площадки контакта в главном не зависел от параметра  $\varepsilon$  (см. известные решения контактной задачи о давлении на упругую полуплоскость штампа, очерченного дугой параболы [12, 13]).

Соответственно для величины зазора между поверхностями тел  $\Omega^1$  и  $\Omega^2$  в недеформированном состоянии (см. (1.6)) находим

$$\Delta(\varepsilon^{1/2} \eta_1) = \varepsilon [(2R_1)^{-1} + (2R_2)^{-1}] \eta_1^2 + O(\varepsilon^{3/2} \eta_1^3). \quad (3.3)$$

Вместе с тем в координатах (3.2) уравнения границ  $\Gamma_c^1$  и  $\Gamma_c^2$  согласно (1.5) и (3.1) в главном имеют вид

$$\eta_2 = (-1)^r \varepsilon^{1/2} (2R_r)^{-1} \eta_1^2 \quad (r = 1, 2). \quad (3.4)$$

Поскольку при переходе к координатам (3.2) концы дуг  $\Gamma_c^1$  и  $\Gamma_c^2$  удаляются от точки  $C$  на расстояния  $\varepsilon^{-1/2}l_1$  и  $\varepsilon^{-1/2}l_2$ , задачу для внутреннего асимптотического представления  $\mathbf{w}^r(\boldsymbol{\eta})$  поля перемещений  $\mathbf{u}^r(\mathbf{x})$  точек упругого тела  $\Omega^r$  формулируем в полубесконечной области, границей которой является парабола (3.4).

Согласно методу сращиваемых разложений асимптотические формулы (2.2) и (2.5) (с учетом (2.4) и (2.7)) дают условия на поведение вектор-функций  $\mathbf{w}^1(\boldsymbol{\eta})$  и  $\mathbf{w}^2(\boldsymbol{\eta})$  на бесконечности. Так, пренебрегая в (2.2) и (2.5) членами  $O(\varepsilon^{1/2}|\boldsymbol{\eta}|)$  по сравнению с единицей, при  $|\boldsymbol{\eta}| \rightarrow \infty$  находим

$$\mathbf{w}^1(\boldsymbol{\eta}) = \varepsilon P^* [\mathbf{S}^1(\varepsilon^{1/2}\boldsymbol{\eta}/R_1) + n_1 \mathbf{A}^1] + O(|\boldsymbol{\eta}|^{-1}); \quad (3.5)$$

$$\mathbf{w}^2(\boldsymbol{\eta}) = -\varepsilon P^* [\mathbf{S}^2(\varepsilon^{1/2}\boldsymbol{\eta}/R_2) + n_2 \mathbf{A}^2] + \varepsilon \alpha^* (\cos \gamma, -\sin \gamma) + O(|\boldsymbol{\eta}|^{-1}). \quad (3.6)$$

В соотношениях (3.5), (3.6) использованы нормировки (2.6) и (2.8).

Граничные условия для векторов  $\mathbf{w}^1(\boldsymbol{\eta})$  и  $\mathbf{w}^2(\boldsymbol{\eta})$  получим из граничных условий одностороннего контакта без трения (1.9) и (1.10), в которые необходимо подставить зависимости (3.1) и произвести обратную (3.2) замену переменных. В результате с учетом (3.4) условие непроникновения точек контактирующих тел (см. первое неравенство в (1.9)) принимает вид

$$w_2^1(\eta_1, \varepsilon^{1/2}\varphi_1(\eta_1)) - w_2^2(\eta_1, \varepsilon^{1/2}\varphi_2(\eta_1)) \leq \varepsilon \Delta^*(\eta_1). \quad (3.7)$$

Здесь  $\varphi_r(\eta_1) = (-1)^r (2R_r)^{-1} \eta_1^2$  ( $r = 1, 2$ );  $\Delta^*(\eta_1) = [(2R_1)^{-1} + (2R_2)^{-1}] \eta_1^2$ . Аналогично (3.7) преобразуются остальные соотношения в (1.9), (1.10).

**4. Внутреннее асимптотическое представление.** Решение в области локальных деформаций представим в виде

$$\mathbf{w}^1(\boldsymbol{\eta}) = \varepsilon \mathbf{W}^1(\boldsymbol{\eta}) + \varepsilon P^* n_1 (\mathbf{A}^1 + \hat{\mathbf{e}}_2 \ln \sqrt{\varepsilon}); \quad (4.1)$$

$$\mathbf{w}^2(\boldsymbol{\eta}) = \varepsilon \mathbf{W}^2(\boldsymbol{\eta}) - \varepsilon P^* n_2 (\mathbf{A}^2 + \hat{\mathbf{e}}_2 \ln \sqrt{\varepsilon}) + \varepsilon \alpha^* (\cos \gamma, -\sin \gamma), \quad (4.2)$$

где  $\hat{\mathbf{e}}_2$  — орт координатной оси  $C\eta_2$ .

Подставляя (4.1) и (4.2) в (3.7), находим

$$W_2^1(\eta_1, \varepsilon^{1/2}\varphi_1(\eta_1)) - W_2^2(\eta_1, \varepsilon^{1/2}\varphi_2(\eta_1)) \leq \Delta_\varepsilon^*(\eta_1), \quad (4.3)$$

$$\Delta_\varepsilon^*(\eta_1) = \Delta^*(\eta_1) - P^* \sum_{r=1}^2 n_r (A_2^r + \ln \sqrt{\varepsilon}) - \alpha^* \sin \gamma.$$

Окончательно граничное условие для главных членов асимптотики вектор-функций  $\mathbf{W}^1(\boldsymbol{\eta})$  и  $\mathbf{W}^2(\boldsymbol{\eta})$  получим, переходя в левой части неравенства (4.3) к пределу при  $\varepsilon \rightarrow 0$  и “распрямляя” границы (3.4).

Таким образом, векторы  $\mathbf{W}^1(\boldsymbol{\eta})$  и  $\mathbf{W}^2(\boldsymbol{\eta})$  должны удовлетворять системе уравнений Ламе в полуплоскостях  $\eta_2 < 0$  и  $\eta_2 > 0$  соответственно, а на бесконечности удовлетворять условиям ( $r = 1, 2$ )

$$\mathbf{W}^r(\boldsymbol{\eta}) = (-1)^{r+1} P^* \mathbf{S}^r(\boldsymbol{\eta}/R_r) + O(|\boldsymbol{\eta}|^{-1}), \quad |\boldsymbol{\eta}| \rightarrow \infty. \quad (4.4)$$

Кроме того, на границе раздела  $\eta_2 = 0$  должны выполняться следующие соотношения:

$$W_2^1(\eta_1, 0) - W_2^2(\eta_1, 0) \leq \Delta_\varepsilon^*(\eta_1), \quad \tau_{22}^1(\eta_1, 0) = \tau_{22}^2(\eta_1, 0) \leq 0, \quad (4.5)$$

$$[W_2^1(\eta_1, 0) - W_2^2(\eta_1, 0) - \Delta_\varepsilon^*(\eta_1)] \tau_{22}^1(\eta_1, 0) = 0, \quad \tau_{12}^1(\eta_1, 0) = \tau_{12}^2(\eta_1, 0) = 0.$$

Точное решение данной задачи легко выписать, используя результаты [12, 13]. Обозначим полуширину искомой площадки контакта (в координатах (3.2)) через  $h_*$ . Вектор-функцию  $\mathbf{W}^r(\boldsymbol{\eta})$  представим в форме интеграла

$$\mathbf{W}^r(\boldsymbol{\eta}) = (-1)^{r+1} \int_{-h_*}^{h_*} \mathbf{S}\left(\frac{\eta_1 - \xi}{R_r}, \frac{\eta_2}{R_r}\right) p^*(\xi) d\xi \quad (4.6)$$

с плотностью, распределенной по закону

$$p^*(\eta_1) = (2P^*/(\pi h_*)) \sqrt{1 - \eta_1^2/h_*^2}. \quad (4.7)$$

Вектор (4.6) удовлетворяет асимптотическому условию (4.4). В то же время на границе полуплоскости выполняется равенство

$$W_2^r(\eta_1, 0) = (-1)^r P^* n_r \left( \frac{\eta_1^2}{h_*^2} - \ln \frac{2R_r}{h_*} - \frac{1}{2} \right), \quad \eta_1 \in (-h_*, h_*). \quad (4.8)$$

Подставляя в уравнение совместности перемещений  $W_2^1(\eta_1, 0) - W_2^2(\eta_1, 0) = \Delta_\varepsilon^*(\eta_1)$ ,  $\eta_1 \in (-h_*, h_*)$  выражение для  $\Delta_\varepsilon^*(\eta_1)$  из (4.3) и граничные значения (4.8), после несложных преобразований получим систему уравнений

$$h_*^2 = (2R_1 R_2 / (R_1 + R_2)) P^* (n_1 + n_2); \quad (4.9)$$

$$P^* \sum_{r=1}^2 n_r \left( \ln \frac{2R_r}{\sqrt{\varepsilon} h_*} + \frac{1}{2} - A_2^r \right) = \alpha^* \sin \gamma, \quad (4.10)$$

где  $n_r$  — упругая постоянная, выражение для которой приведено в (2.3);  $2h_*$  — размер участка контакта в координатах (3.2). В реальном масштабе, согласно (3.2) имеем

$$h = \sqrt{\varepsilon} h_*. \quad (4.11)$$

Итак, в результате построения главных членов асимптотики исходной контактной задачи получены формулы (4.7), (4.9) и (4.10). Уравнения (4.7), (4.9), как и следовало ожидать, совпадают с зависимостями Герца. Новым соотношением является уравнение (4.10), связывающее силу  $P^*$  с перемещением  $\alpha^*$ .

**5. Асимптотическое моделирование сжатия упругих тел. Примеры.** Для определения контактного давления и основных параметров контакта  $h$  и  $\alpha$  имеем уравнения (см. (2.6), (2.8), (4.7) и (4.9)–(4.11))

$$p(y_1) = (2P/(\pi h)) \sqrt{1 - y_1^2/h^2}, \quad h^2 = (2R_1 R_2 / (R_1 + R_2)) (n_1 + n_2) P; \quad (5.1)$$

$$P \sum_{r=1}^2 n_r \left( \ln \frac{2R_r}{h} + \frac{1}{2} - A_2^r \right) = \alpha \sin \gamma. \quad (5.2)$$

В уравнение (5.2) входят безразмерные постоянные  $A_2^1$  и  $A_2^2$  (коэффициенты в асимптотических формулах (2.2) и (2.5)). Величина  $A_2^1$  зависит от положения точки  $C$ , а также от формы и способа закрепления тела  $\Omega^1$ . Величина  $A_2^2$  зависит от распределения нагрузки, приложенной к телу  $\Omega^2$ . В частных случаях, некоторые из которых обсуждаются ниже, удастся получить явное выражение для этих величин.

5.1. *Сжатие упругого кольца криволинейными штампами.* Рассмотрим упругое кольцо  $\Omega$  с внешним радиусом  $R$  и внутренним  $\beta R$  ( $0 \leq \beta < 1$ ), сдавливаемое абсолютно

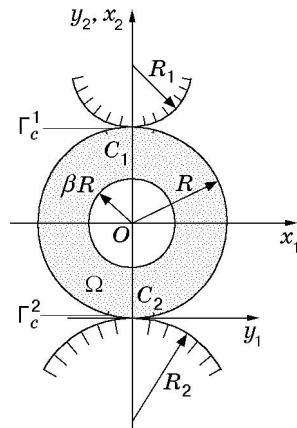


Рис. 2

$\beta$	$c$
0,1	0,0926
0,2	0,4042
0,3	1,0638
0,4	2,4052
0,5	5,3122
0,6	12,4833
0,7	34,4229

жесткими штампами (рис. 2). Для простоты внутренняя граница кольца  $\Omega$  предполагается незагруженной. Обозначим через  $2\delta_0$  сближение штампов и положим  $\delta_0 = \varepsilon\delta_0^*$ , где  $\varepsilon$  — малый параметр. Тогда условие непроникновения точек тела  $\Omega$  в штамп, например на границе  $\Gamma_c^2$  (определяемой уравнением  $y_2 = f_2(y_1)$ ), имеет вид  $u_2(y_1, f_2) \geq \varepsilon\delta_0^* - [(2R_1)^{-1} + (2R_2)^{-1}]y_1^2$  для  $|y_1| < l_2$ .

Внешнее асимптотическое представление поля перемещений тела  $\Omega$  выберем в виде  $\mathbf{v}(\mathbf{x}) = \mathbf{v}^0(\mathbf{x}) + \alpha\mathbf{e}_2$ , где  $\mathbf{v}^0(\mathbf{x})$  — решение задачи о сжатии упругого кольца сосредоточенными в точках  $C_1$  и  $C_2$  силами  $P$ . Используя явное решение (см. [14, гл. 7, § 7.6]), для компонент вектора  $\mathbf{v}^0(\mathbf{x})$  при  $\mathbf{x} \rightarrow C_2$  получаем разложение (2.5) с коэффициентами  $A_1 = 0$  и  $A_2 = 1 - \ln 2 - c$ , где

$$c = c_0 + \sum_{k=2,4,\dots} \frac{k}{k^2 - 1} c_k, \quad c_0 = \frac{\beta^2}{1 - \beta^2}, \quad c_k = 2\beta^{2k-2} \frac{k^2(1 - \beta^2)^2 + k(1 - \beta^4) + 2\beta^2(1 - \beta^{2k})}{(1 - \beta^{2k})^2 - k^2\beta^{2k-2}(1 - \beta^2)^2}.$$

Результаты расчетов по данным формулам приведены в таблице.

В качестве внутреннего асимптотического представления в окрестности точки  $C_2$  будем иметь сумму (4.2) с  $\gamma = \pi/2$ . В результате несложных вычислений получим

$$h_i^2 = 2RR_i(R + R_i)^{-1}nP \quad (i = 1, 2), \quad n = (\varepsilon + 1)/(4\pi\mu); \quad (5.3)$$

$$\alpha = \frac{1}{4}nP \ln \frac{R_2(R + R_1)}{R_1(R + R_2)}; \quad (5.4)$$

$$nP(\ln(4R/h_1) + \ln(4R/h_2) - 1 + 2c) = 2\delta_0. \quad (5.5)$$

Для случая кругового диска ( $\beta = 0$ ) данная задача рассматривалась в [8]. Уравнения (5.3) и (5.5) (при  $c = 0$ ) с точностью до обозначений согласуются с результатами [8]. Относительное смещение центра упругого диска (5.4) в [8] не вычислялось. Зависимость (5.5) для кругового диска совпадает с полученной другим способом в [15] (см. § 5.6, формула (5.57)). Следует отметить также работу [16], в которой выписана двухчленная асимптотика в случае сжатия упругого диска прямолинейными штампами. Зависимости (5.3) и (5.5) совпадают с главными членами асимптотических формул (4.24) и (4.23) соответственно, полученных в [16].

5.2. *Сжатие двух упругих дисков.* Контактное давление, возникающее между дисками (рис. 3), и полуширина  $h$  участка контакта определяются формулами (5.1). Для полуширины контакта  $h_i$  диска со штампом имеем зависимость

$$h_i^2 = 2R_i nP \quad (i = 1, 2). \quad (5.6)$$

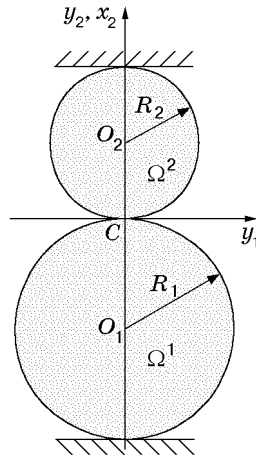


Рис. 3

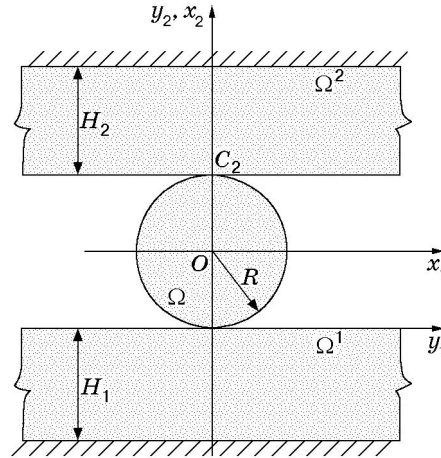


Рис. 4

Сближение штампов  $2\delta_0$  связано с величиной сдавливающих усилий  $P$  уравнением

$$P \sum_{i=1}^2 n_i \left( \ln \frac{4R_i}{h} + \ln \frac{4R_i}{h_i} - 1 \right) = 2\delta_0. \quad (5.7)$$

Сближение центров упругих дисков равно

$$\alpha_1 - \alpha_2 = P \sum_{i=1}^2 n_i \left( \ln \frac{4R_i}{h} - \frac{1}{2} \right), \quad (5.8)$$

где  $\alpha_i$  — перемещение точки  $O_i$  вдоль оси  $O_i x_2$ .

Формулы (5.1), (5.6)–(5.8) в главном дают решение поставленной задачи. Впервые приближенная зависимость между сближением центров круговых дисков и сдавливающей силой выведена в [17, гл. 8]. Другие решения приведены в [18, § 54; 19]. Задача о сжатии двух дисков сосредоточенными силами изучена в [8, 20]. Решение этой задачи дается соотношениями (5.1) и (5.8), по существу, совпадающими с результатами [8, 20]. Следует отметить, что формула (5.8) представляет собой асимптотически точный результат.

5.3. *Сжатие упругого диска между упругими полосами.* Пусть упругие полосы шириной  $H_1$  и  $H_2$ , жестко сцепленные со штампами, сдавливают упругий диск радиусом  $R$  (рис. 4). Как и выше, сближение штампов обозначим через  $2\delta_0$ . Тогда внешнее асимптотическое представление для поля перемещений первой полосы имеет вид  $v^1(\mathbf{x}) = P\mathbf{G}^1(\mathbf{x}) + \delta_0 \mathbf{e}_2$ . Здесь  $\mathbf{G}^1(\mathbf{x})$  — решение задачи о действии на границу упругого тела  $\Omega^1$  в точке  $C_1$  единичной сосредоточенной силы, направленной противоположно оси  $Ox_2$ , причем  $\mathbf{G}^1(\mathbf{x}) = 0$  при  $x_2 = -(R + H_1)$ .

В асимптотической формуле  $G_j^1(y_1, y_2 - R) = S_j^1(\mathbf{y}/H_1) + n_1 A_j^1 + O(|\mathbf{y}|)$ ,  $|\mathbf{y}| \rightarrow 0$  ( $j = 1, 2$ ) равны  $A_1^1 = 0$  и  $A_2^1 = d_0^1$ , где постоянная  $d_0^i$  согласно результатам [21, § 22] имеет вид

$$d_0^i = \int_0^\infty \frac{1}{u} (1 - e^{-u} - L_i(u)) du, \quad L_i(u) = \frac{2\alpha_i \operatorname{sh}(2u) - 4u}{2\alpha_i \operatorname{ch}(2u) + 1 + \alpha_i^2 + 4u^2}.$$

В частности,  $d_0^i \approx 0,527$  для значения коэффициента Пуассона  $\nu_i = 0,3$  (см. [21, табл. 3]).

Полуширина участка контакта вычисляется по формуле

$$h_i^2 = 2R(n_i + n)P \quad (i = 1, 2). \quad (5.9)$$

Контактная сила  $P$  связана со сближением штампов уравнением

$$nP \left( \ln \frac{4R}{h_1} + \ln \frac{4R}{h_2} - 1 \right) + \sum_{i=1}^2 n_i P \left( \ln \frac{2H_i}{h_i} + \frac{1}{2} - d_0^i \right) = 2\delta_0. \quad (5.10)$$

Перемещение центра диска в результате деформации равно

$$\alpha = \frac{1}{4} nP \ln \frac{n_1 + n}{n_2 + n} + \sum_{i=1}^2 \frac{(-1)^i}{2} n_i P \left( \ln \frac{2H_i}{h_i} + \frac{1}{2} - d_0^i \right). \quad (5.11)$$

Формулы (5.9)–(5.11) могут быть использованы при расчетах упругих деформаций подшипников качения.

**6. Асимптотическая модель квазистатического соударения плоских упругих тел.** Решение задачи о соударении круговых цилиндров вдоль их образующих в квазистатической постановке дано в [22] (см. также [23]). Построим асимптотическую модель квазистатического соударения двух цилиндров, в момент удара касающихся вдоль общей образующей. Для этого, следуя [22, 23], воспользуемся решением задачи о сжатии круговых дисков  $\Omega^1$  и  $\Omega^2$  (обозначения см. на рис. 4) под действием нагрузок, распределенных по их площадям с плотностью  $(-1)^{r+1} S_r^{-1} P e_2$  ( $r = 1, 2$ ), где  $P$  — равнодействующая контактных давлений;  $S_r = \pi R_r^2$  — площадь диска  $\Omega^r$ .

Внешнее асимптотическое представление выберем в виде  $\mathbf{v}^r(\mathbf{y}) = P \mathbf{G}^r(\mathbf{y}) + \alpha_r e_2$ . Здесь  $\mathbf{G}^r(\mathbf{y})$  — решение задачи о деформации диска  $\Omega^r$  под действием распределенной нагрузки  $(-1)^{r+1} S_r^{-1} e_2$ , уравновешенной единичной сосредоточенной силой  $(-1)^r e_2$ , приложенной в точке  $C$ , причем в точке  $O_r$  (центре диска) выполняется условие  $\mathbf{G}^r(O_r) = 0$ . Используя явные формулы [22], находим

$$\mathbf{G}^r(\mathbf{y}) = (-1)^{r+1} [\mathbf{S}^r(\mathbf{y}/R_r) + n_r A_2^r e_2] + O(|\mathbf{y}|), \quad |\mathbf{y}| \rightarrow 0; \quad (6.1)$$

$$A_2^r = [2(\varkappa_r + 1)]^{-1} (\varkappa_r + 2) \quad (r = 1, 2). \quad (6.2)$$

При рассмотрении пограничного слоя в первом приближении следует пренебречь распределенными нагрузками. Тогда, используя решение, построенное в п. 4, получим уравнение

$$\alpha = P \sum_{r=1}^2 n_r \left( \ln \frac{2R_r}{h} + \frac{1}{2} - A_2^r \right), \quad (6.3)$$

связывающее сближение дисков  $\alpha = \alpha_1 - \alpha_2$  с контактной силой  $P$ . Полуширина участка контакта  $h$  вычисляется по формуле (5.1).

Уравнение (6.3) (с учетом (6.2)) совпадает с аналогичным в [22; 23, гл. 3, уравнение (4.6)], полученным другим способом.

Согласно второму закону Ньютона движение центра масс диска  $\Omega^r$  в процессе соударения описывается уравнением  $S_r \rho_r \ddot{\alpha}_r = (-1)^r P$ , где  $\rho_r$  — плотность материала; точкой обозначено дифференцирование по времени. Следствием последних двух уравнений ( $r = 1, 2$ ) является уравнение

$$M_0 \ddot{\alpha} = -P, \quad M_0 = S_1 S_2 \rho_1 \rho_2 / (S_1 \rho_1 + S_2 \rho_2). \quad (6.4)$$

Для уравнения (6.4) ставятся начальные условия  $\alpha = 0$  и  $\dot{\alpha} = v_1 - v_2$ , где  $v_r$  — скорость тела  $\Omega^r$  в момент  $t = 0$ .

В работах [22, 23] уравнения (5.1), (6.3), (6.4) положены в основу квазистатической теории соударения круговых цилиндров. Для того чтобы воспользоваться результатами

[22, 23] в общем случае прямого центрального удара плоских ограниченных тел, первоначально касающихся в точке, необходимо лишь вычислить коэффициенты в (6.2). В случае упругого кольца величина  $A_2^r$  может быть получена по формулам [24].

**Заключение.** Явное выражение для коэффициента  $A_2^r$  в исходной задаче можно получить в частном случае кругового диска, воспользовавшись формулами [12] (см. § 80а).

Построенные в п. 5 решения для случая круговых дисков обобщаются на случай упругих колец.

Проблема уточнения построенного асимптотического решения связана с проблемой построения асимптотики задачи одностороннего контакта для пограничного слоя в объединении областей  $\eta_2 \leq \sqrt{\varepsilon}\varphi_1(\eta_1)$  и  $\eta_2 \geq \sqrt{\varepsilon}\varphi_2(\eta_1)$  (см. (4.3)). Задача определения поправки к вектору  $\mathbf{W}^r(\boldsymbol{\eta})$  должна решаться одновременно с корректировкой участка контакта  $(-h_*, h_*)$ . При этом вариации зон контакта, вообще говоря, будут различными (так же, как при учете касательных перемещений [25, 26]). Следует отметить, что формальная асимптотика зоны контакта в односторонних задачах строилась в [27, 28].

Основной результат данной работы заключается в следующем. Задача расчета упругой деформации двумерных контактирующих тел  $\Omega^1$  и  $\Omega^2$ , которую нельзя определить через контактные напряжения в теории Герца (см. [15, § 5.6]), в первом приближении сведена к вычислению безразмерных интегральных характеристик  $A_1^2$  и  $A_2^2$ , которые можно назвать коэффициентами локальной податливости упругих тел  $\Omega^1$  и  $\Omega^2$  соответственно.

## ЛИТЕРАТУРА

1. Главачек И., Гаслингер Я., Нечас И., Ловишек Я. Решение вариационных неравенств в механике. М.: Мир, 1986.
2. Дюво Г., Лионс Ж.-Л. Неравенства в механике и физике. М.: Наука, 1980.
3. Кравчук А. С. Вариационные и квазивариационные неравенства в механике. М.: Мос. гос. акад. приборостроения и информатики, 1997.
4. Хлуднев А. М. К проблеме контакта линейно-упругого тела с упругими и жесткими телами (вариационный подход) // Прикл. математика и механика. 1983. Т. 47, № 6. С. 999–1005.
5. Ван-Дайк М. Д. Методы возмущений в механике жидкости. М.: Мир, 1967.
6. Ильин А. М. Согласование асимптотических разложений решений краевых задач. М.: Наука, 1989.
7. Mazja W. G., Nasarow S. A., Plamenewski B. A. Asymptotische Theorie elliptischer Randwertaufgaben in singularär gestörten Gebieten. Berlin: Akad.-Verlag, 1991. Bd 1.
8. Schwartz J., Harper Y. On the relative approach of two-dimensional elastic bodies in contact // Intern. J. Solids Structures. 1971. V. 7, N 12. P. 1613–1626.
9. Петров Ю. В. О контактном взаимодействии упругого диска с жестким угловым вырезом // Вестн. Ленингр. ун-та. Сер. 1. 1989. Вып. 2. С. 62–64.
10. Иванов К. П., Морозов Н. Ф., Нарбут М. А., Ривкинд В. Я. Задачи гидродинамики и прочности каналов малого проходного сечения. Л.: Изд-во Ленингр. ун-та, 1987.
11. Аргатов И. И. Вдавливание штампа в форме эллиптического параболоида в плоскую границу упругого тела // Прикл. математика и механика. 1999. Т. 63, № 4. С. 671–679.
12. Мухелишвили Н. И. Некоторые основные задачи математической теории упругости. М.: Наука, 1966.
13. Штаерман И. Я. Контактная задача теории упругости. М.; Л.: Гостехтеоретиздат, 1949.
14. Лурье А. И. Теория упругости. М.: Наука, 1970.
15. Джонсон К. Механика контактного взаимодействия. М.: Мир, 1989.

16. **Sternberg E., Turteltaub M. J.** Compression of an elastic roller between two rigid plates // Механика сплошной среды и родственные проблемы анализа: Сб. к 80-летию акад. Н. И. Мухелишвили. М.: Наука, 1972. С. 495–515.
17. **Динник А. Н.** Избранные труды. Киев: Изд-во АН УССР, 1952. Т. 1.
18. **Фепплъ А., Фепплъ Л.** Сила и деформация. М.: Гостехтеоретиздат, 1933. Т. 1.
19. **Рабинович И. Ш.** К решению задачи о контакте цилиндров с параллельными осями // Изв. АН СССР. Отд-ние техн. наук. 1958. № 10. С. 139, 140.
20. **Loo T. T., Troy N. Y.** Effect of curvature on the Hertz theory for two circular cylinders in contact // Trans. ASME. J. Appl. Mech. 1958. V. 25, N 1. P. 122–124.
21. **Ворович И. И., Александров В. М., Бабешко В. А.** Неклассические смешанные задачи теории упругости. М.: Наука, 1974.
22. **Зегжда С. А., Филиппов Н. Г.** О соударении цилиндров вдоль их образующих // Вестн. Ленингр. ун-та. Сер. 1. 1986. Вып. 3. С. 58–62.
23. **Зегжда С. А.** Соударение упругих тел. СПб.: Изд-во С.-Петерб. ун-та, 1994.
24. **Yu Y.-Y.** Gravitational stresses in a circular ring resting on concentrated support // J. Appl. Mech. 1955. V. 22, N 1. P. 103–106.
25. **Галанов Б. А.** Постановка и решение некоторых уточненных задач упругого контакта двух тел // Изв. АН СССР. Механика твердого тела. 1983. № 6. С. 56–63.
26. **Солдатенков И. А.** Контактная задача для упругой полуплоскости при учете касательного перемещения на контакте // Изв. РАН. Механика твердого тела. 1994. № 4. С. 51–61.
27. **Назаров С. А.** О возмущениях решений задачи Синьорини для скалярного уравнения второго порядка // Мат. заметки. 1990. Т. 47, № 1. С. 115–126.
28. **Аргатов И. И., Назаров С. А.** Асимптотическое решение задачи Синьорини с препятствием на тонком продолговатом множестве // Мат. сб. 1996. Т. 187, № 10. С. 3–32.

*Поступила в редакцию 3/X 2000 г.,  
в окончательном варианте — 10/IV 2001 г.*

---